



Colombia Forestal

ISSN: 0120-0739

ISSN: 2256-201X

Proyecto Curricular de Ingeniería Forestal, Facultad del Medio Ambiente y Recursos Naturales, Universidad Distrital Francisco José de Caldas.

Guzmán-Santiago, Juan Carlos; Vargas-Larreta, Benedicto;
Gómez-Cárdenas, Martín; Quiñonez-Barraza, Gerónimo
Función ahusamiento-volumen comercial de *Abies religiosa*
(Kunth) Schiltl. & Cham. en varias regiones de México
Colombia Forestal, vol. 25, núm. 1, 2022, Enero-Junio, pp. 77-94
Proyecto Curricular de Ingeniería Forestal, Facultad del Medio Ambiente
y Recursos Naturales, Universidad Distrital Francisco José de Caldas.

DOI: <https://doi.org/10.7440/res64.2018.03>

Disponible en: <https://www.redalyc.org/articulo.oa?id=423970271006>

- Cómo citar el artículo
- Número completo
- Más información del artículo
- Página de la revista en redalyc.org

redalyc.org
UAEM

Sistema de Información Científica Redalyc
Red de Revistas Científicas de América Latina y el Caribe, España y Portugal
Proyecto académico sin fines de lucro, desarrollado bajo la iniciativa de acceso abierto



UNIVERSIDAD DISTRITAL
FRANCISCO JOSÉ DE CALDAS



ARTÍCULO DE INVESTIGACIÓN

Función ahusamiento-volumen comercial de *Abies religiosa* (Kunth) Schltdl. & Cham. en varias regiones de México

Commercial taper-volume function of *Abies religiosa* (Kunth) Schltdl. & Cham. in several regions of Mexico

Juan Carlos Guzmán-Santiago^{1*}, Benedicto Vargas-Larreta²,
Martín Gómez-Cárdenas³ y Gerónimo Quiñonez-Barraza⁴

Guzmán-Santiago, J. C., Vargas-Larreta, B., Gómez-Cárdenas, M. y Quiñonez-Barraza, G. (2022). Función ahusamiento-volumen comercial de *Abies religiosa* (Kunth) Schltdl. & Cham. en varias regiones de México. *Colombia Forestal*, 25(1), 77-94.

Recepción: 27 de marzo 2021

Aprobación: 11 de agosto 2021

Resumen

La relación ahusamiento-volumen es indispensable para la planeación del manejo silvícola en los bosques con la finalidad de favorecer la distribución de los productos. Por esta razón, el objetivo del presente estudio fue generar un modelo compatible que permitiera estimar de forma precisa el volumen-ahusamiento de *Abies religiosa* en varias regiones de México. Se utilizaron 2608 datos en el análisis de la información y el modelo se ajustó simultáneamente mediante la regresión aparentemente no relacionada (RAN) para la estimación de los parámetros compatibles. El modelo generó coeficientes de determinación ajustados superiores al 97 %, raíces del medio cuadrático menores al 0.40, sesgos menores a 0.11, con certeza para modelar cada región forestal; datos que fueron complementados con sus respectivos criterios de información Akaike (AIC). En la mayoría de los casos el factor de forma de la especie fue de neiloide a paraboloide, información que será de utilidad para la elaboración de inventarios forestales.

Palabras clave: altura, bondad de ajuste, diámetro, factor de forma, regresión aparentemente no relacionada.

Abstract

The taper-volume relationship is an essential tool for planning silvicultural management in forests with the final aim of promoting the distribution of products. The objective of this study is the generation of a compatible model that allows an accurate estimation of the taper-volume of *Abies religiosa* in several regions of Mexico. A data set of 2608 values was considered for the analysis of the information; the model was simultaneously adjusted by seemingly unrelated regression (SUR) for the estimation of compatible parameters. The model generated coefficients of determination with fit levels higher than 97 %, roots mean square less than 0.40, biases lower than 0.11, with certainty to model each forest region, which are complemented with their respective Akaike information criteria (AIC). In most cases, the shape factor of the species went from neiloid to paraboloid. This information will be useful for timber forest inventories.

Keywords: height, goodness of fit, diameter, factor of shape, seemingly unrelated regression.

1 Centro de Investigación, Divulgación y Asesoría Técnica Forestal y Agropecuaria (SC). Tlaxiaco, Oaxaca, México.

2 Tecnológico Nacional de México/Instituto Tecnológico de El Salto, Pueblo Nuevo, Durango, México.

3 Campo experimental Uruapan, Instituto Nacional de Investigaciones Forestales, Agrícolas y Pecuarias, Michoacán, México.

4 Campo experimental Valle del Guadiana, Instituto Nacional de Investigaciones Forestales, Agrícolas y Pecuarias, Camino Real, Durango, México.

* Autor para correspondencia: charly.230584@gmail.com

INTRODUCCIÓN

Las actividades silvícolas que se implementan en el bosque tienden a mejorar las condiciones, garantizando de esta manera un alto porcentaje de aprovechamiento en volumen forestal maderable (Valencia-Manzo *et al.*, 2017). Ante esto, las regresiones lineales y no lineales son herramientas que brindan información confiable sobre las variables de interés, facilitando así su análisis e interpretación (Guzmán-Santiago *et al.*, 2020a).

Este tipo de sistemas realizan predicciones de volumen en distintas alturas del árbol, lo que permite hacer clasificaciones de productos, y que se define como la disminución del diámetro con base al aumento de la altura del árbol (Kozak, 1988). Los tipos de modelos se clasifican en árboles individuales, segmentados y de exponente variable (Burkhart y Tomé, 2012), y se caracterizan por ser flexibles y precisos para generar información de volumen comercial de un árbol en pie (Milena-López *et al.*, 2015).

El sistema compatible permite describir los distintos segmentos del árbol, desde un neiloide en la base a formas cilíndricas o paraboloides truncadas (en la zona de mayor aprovechamiento comercial), hasta terminar en su forma cónica o paraboloide en la punta del árbol (Tamarit-Urías *et al.*, 2014), por lo que los diferentes factores ambientales y las actividades silvícolas son claves en la forma geométrica que toma el fuste de cada especie (Uranga-Valencia *et al.*, 2015). Demaerschalk (1972) menciona que se puede tener un modelo compatible siempre que estén definidos los mismos parámetros, así como una estructura geométrica común. Además, por ser de tipo no lineal, facilitan la descripción de los datos de las especies (Urbano *et al.*, 2018).

En este sentido, el modelo de Fang *et al.* (2000) puede emplearse sin problemas en la planificación forestal, dado que incorpora de manera implícita la ecuación de volumen total de Schumacher y Hall (1933) y, a su vez, puede ser reemplazada por otra similar, según sea conveniente, lo que permite

generar una mayor ganancia en el aprovechamiento (Niño-López *et al.*, 2018). El modelo es capaz de describir el conjunto de datos del fuste y el volumen de cualquier especie sin ningún inconveniente (Özçelik y Göceri 2015; Quiñonez-Barraza *et al.*, 2014), además de las especies tropicales, lo que facilita su incorporación a los sistemas biométricos (López-Martínez *et al.*, 2020).

Durante décadas, diferentes entidades federativas de México han utilizado ecuaciones no apropiadas para cada especie (Cruz-Cobos *et al.*, 2016), por lo que no existe una confianza general en las estimaciones deseadas (Azevêdo *et al.*, 2014). De ahí que varios investigadores e instituciones mostraran interés por generar ecuaciones propias para algunas especies de tipo comercial con la finalidad de apoyar a los manejadores del bosque y, a su vez, obtener información verídica sobre los rendimientos maderables para tomar decisiones sobre su manejo (Vargas-Larreta *et al.* 2017).

En México, el género *Abies* es la segunda pinácea maderable, siendo *A. religiosa* la especie de mayor importancia económica y la más aprovechable, pues contribuye con el 2.8 % de la producción maderable anual (SEMARNAT, 2016). La superficie que ocupa dentro del territorio del país oscila entre 0.07 % y 0.16 %, y su distribución se presenta en forma de parches aislados (INEGI, 2017). Considerando lo anterior, el objetivo del presente estudio fue generar un sistema compatible que permitiera estimar de forma precisa el ahusamiento-volumen comercial, además de analizar los tipos dendrométricos de *Abies religiosa* (Kunth) Schltdl. & Cham. en varias regiones de México.

MATERIALES Y MÉTODOS

Área de estudio

El estudio se desarrolló en ocho entidades federativas que corresponden a 20 Unidades de Manejo Forestal (UMAFOR). Estas fueron: Guerrero (1203),

Hidalgo (1303), Jalisco (1404, 1406, 1410), Estado y Ciudad de México (1503, 1507, 1508, 1510), Michoacán (1604, 1605, 1607, 1608), Puebla (2101, 2105, 2108), Tlaxcala (2901, 2902) y Veracruz (3004, 3012) ([Tabla 1](#)).

Tamaño de muestra

El tamaño de muestra fue constituido por 2608 árboles de análisis ahusamiento a partir de un muestreo aleatorio por cada UMAFOR en las zonas bajo aprovechamiento forestal y en áreas sin autorización. Para el primer caso se derribaron, seccionaron y midieron cada una de las trozas, mientras que en las áreas no autorizadas se tomaron datos en forma escalonada con una forcípula laser que proporcionó información confiable para hacer la medición del diámetro a distintas alturas ([Diéguez-Aranda et al., 2005](#)), considerando en todo momento las diferentes categorías diamétricas. En cada sitio, el diámetro normal fue medido con cinta diamétrica y en ocasiones con forcípulas, y para la medición de las alturas en pie se utilizó un Hipsómetro haga (los árboles derribados se midieron usando el flexómetro). En cada árbol se registraron las variables siguientes: diámetro normal medido a 1.3 m sobre el nivel del suelo (Dn, cm), altura total (Ht, m), diámetros con corteza a

diferentes alturas (d, cm) y la altura de la sección del fuste respecto al suelo (h_m , m).

Las dos primeras mediciones se realizaron cada 0.30 m por encima del tocón y la tercera hasta el diámetro normal (1.30 m); posterior a esto, las secciones fueron cortadas de manera constante a 2.54 m de longitud hasta un diámetro de sección específico ubicado en la punta delgada del árbol. Las distintas secciones que tienden a la forma de un cilindro y paraboloide fueron cubicadas por la fórmula de Smalian (1), mientras que para la punta del árbol se utilizó la del cono (2). El volumen de fuste consideró la suma de los volúmenes de las trozas.

$$V_s = \left[\frac{S_0 + S_1}{2} \right] * L \quad 1$$

$$V_p = \frac{S_o * H_o}{3} \quad 2$$

Donde: V_s = volumen por Smalian (m^3); S_0 y S_1 (cm^2) = áreas de las secciones transversales de la troza; L = longitud de la troza (m); V_p = volumen de la última sección del árbol (punta del árbol) (m^3); S_o = área de la base de la última sección del árbol (cm^2); H_o = longitud de la última sección del árbol (m).

A continuación, se muestran las variables utilizadas para llevar a cabo el ajuste del sistema compatible ([Tabla 2](#)).

Tabla 1. Características silvícolas y biológicas de las áreas de estudio

Entidad federativa	Tipo de bosques	Edad promedio (años)	Superficie (%)	Clima	Suelo
Guerrero	Irregular	43	0.46		
Hidalgo	Irregular	70	6.95		
Jalisco	Irregular	51	0.33		
Estado y Ciudad de México	Irregular	49	28.81	Semicálidos ((A)C), templado subhúmedo C(w), templado (C), semifri o (Cb) y frío (E(T))	Suelos profundos y someros (textura limo-arenosa, arcillo-arenosa o arenosa)
Michoacán	Irregular	37	14.96		
Puebla	Irregular	49	10.51		
Tlaxcala	Irregular	48	6.91		
Veracruz	Irregular	22	3.31		

Tabla 2. Estadísticas descriptivas de las variables analizadas

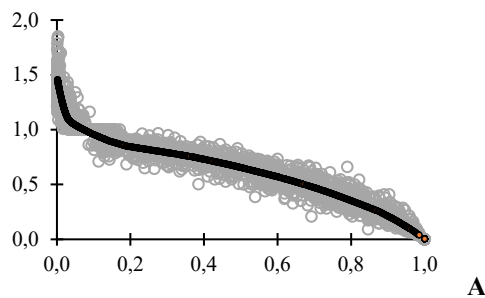
Entidades federativas	No. de árboles	UMAFOR	Mínimo	Promedio	Máximo	Desviación estándar
Diámetro normal (Dn, cm)						
Guerrero	162	1203	8.15	27.71	70.00	14.50
Hidalgo	180	1303	8.60	37.35	64.00	11.27
	52	1404	8.50	36.73	70.00	16.17
Jalisco	49	1406	9.00	44.75	70.00	13.55
	52	1410	9.70	41.01	79.00	16.60
	133	1503	8.75	44.95	85.50	22.71
Estado y Ciudad de México	84	1507	8.00	49.15	90.25	22.38
	151	1508	8.95	45.94	86.50	20.32
	135	1510	7.75	34.32	79.50	19.06
	142	1604	13.00	40.91	72.50	12.95
Michoacán	108	1605	9.00	38.31	74.50	13.69
	148	1607	7.75	31.52	91.65	16.13
	133	1608	7.75	42.70	88.15	19.05
	148	2101	7.95	42.61	94.50	22.35
Puebla	175	2105	5.40	40.58	94.00	21.07
	156	2108	9.05	41.81	83.20	19.04
Tlaxcala	205	2901	8.50	28.10	62.30	13.91
	97	2902	7.60	30.44	79.00	15.03
Veracruz	150	3004	8.20	29.55	52.00	9.67
	148	3012	12.20	33.48	97.00	13.19
Altura (At, m)						
Guerrero	162	1203	7.62	21.56	44.80	7.97
Hidalgo	180	1303	9.50	31.83	43.30	6.68
	52	1404	7.26	23.45	39.06	8.92
Jalisco	49	1406	9.70	28.65	36.72	5.00
	52	1410	10.88	26.06	37.59	6.56
	133	1503	7.20	28.72	52.46	11.11
Estado y Ciudad de México	84	1507	7.81	30.55	50.50	10.19
	151	1508	10.80	27.86	44.55	9.11
	135	1510	10.51	21.13	50.00	6.14
	142	1604	13.83	28.27	46.27	6.43
Michoacán	108	1605	9.80	24.16	39.55	5.60
	148	1607	10.12	26.54	41.30	7.84
	133	1608	6.60	26.68	45.40	9.68

Entidades federativas	No. de árboles	UMAFOR	Mínimo	Promedio	Máximo	Desviación estándar
Puebla	148	2101	7.33	26.47	50.17	9.35
	175	2105	6.10	26.37	41.30	8.75
	156	2108	9.87	26.98	40.56	7.86
Tlaxcala	205	2901	5.13	17.89	40.57	9.13
	97	2902	6.27	21.03	37.25	8.03
Veracruz	150	3004	7.30	16.50	25.40	3.60
	148	3012	8.25	18.30	32.92	4.83
Volumen (Vol, m³)						
Guerrero	162	1203	0.02	0.96	6.34	1.16
Hidalgo	180	1303	0.03	1.88	5.73	1.17
Jalisco	52	1404	0.02	1.74	6.00	1.68
	49	1406	0.03	2.42	5.72	1.37
	52	1410	0.04	1.94	5.94	1.54
Estado y Ciudad de México	133	1503	0.03	3.20	11.43	3.09
	84	1507	0.02	3.52	11.31	2.93
	151	1508	0.04	2.95	11.03	2.50
	135	1510	0.02	1.39	7.19	1.67
Michoacán	142	1604	0.08	2.12	8.79	1.49
	108	1605	0.04	1.62	7.30	1.37
	148	1607	0.04	1.28	9.09	1.53
	133	1608	0.02	2.34	13.52	2.36
Puebla	148	2101	0.03	2.48	10.66	2.76
	175	2105	0.01	2.33	12.25	2.41
	156	2108	0.03	2.40	9.34	2.17
Tlaxcala	205	2901	0.02	0.98	5.14	1.19
	97	2902	0.03	1.22	5.56	1.32
Veracruz	150	3004	0.02	0.65	1.97	0.44
	148	3012	0.05	0.98	10.87	1.22

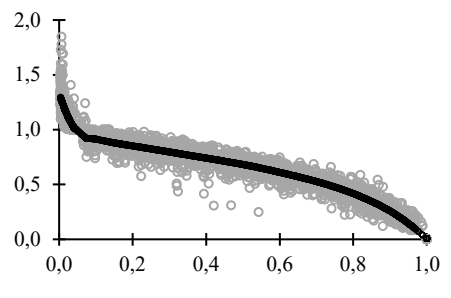
Descripción del perfil de los árboles

Para una mayor comprensión de los datos, se describió el perfil de los árboles mediante el diámetro relativo (d/D , cm) y la altura relativa (hm/H , m) (Figura 1). De igual forma, se realizó el ajuste local

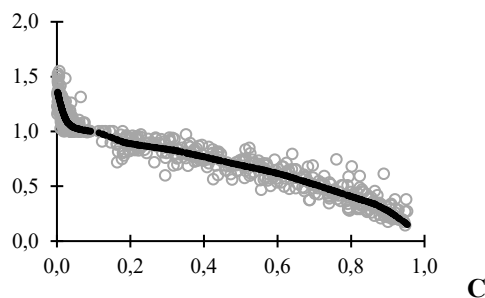
cuadrático no paramétrico a través de la regresión local LOESS o LOWESS del paquete estadístico SAS, con un parámetro suavizado de 0.3. Más tarde, los residuales fueron divididos en diez intervalos de altura relativa para observar el comportamiento de los datos (López-Martínez *et al.*, 2020).



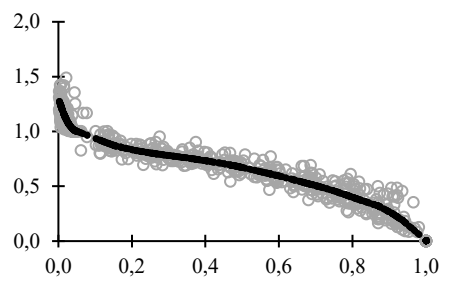
A



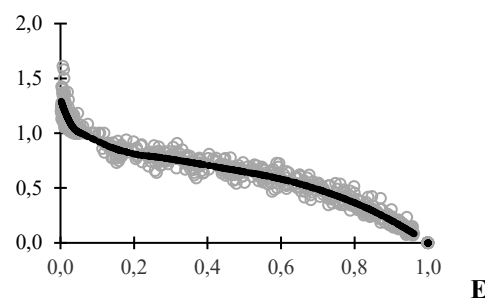
B



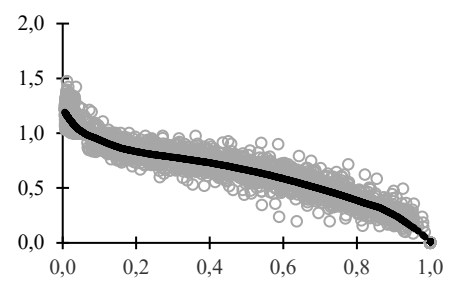
C



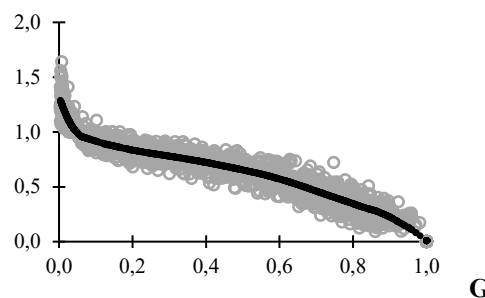
D



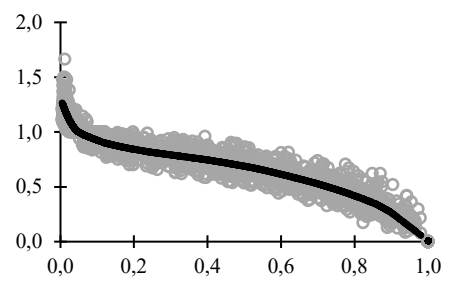
E



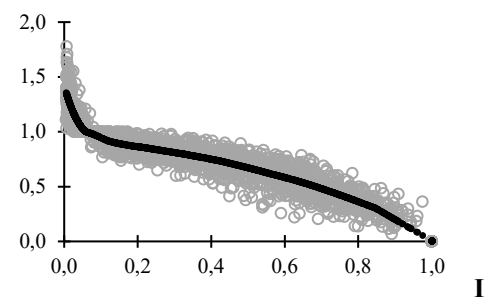
F



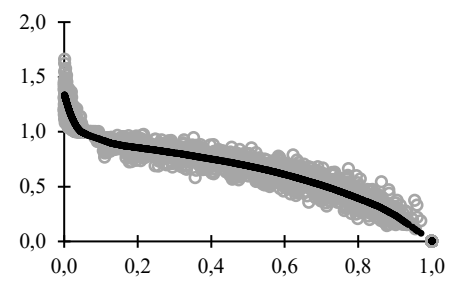
G



H



I



J

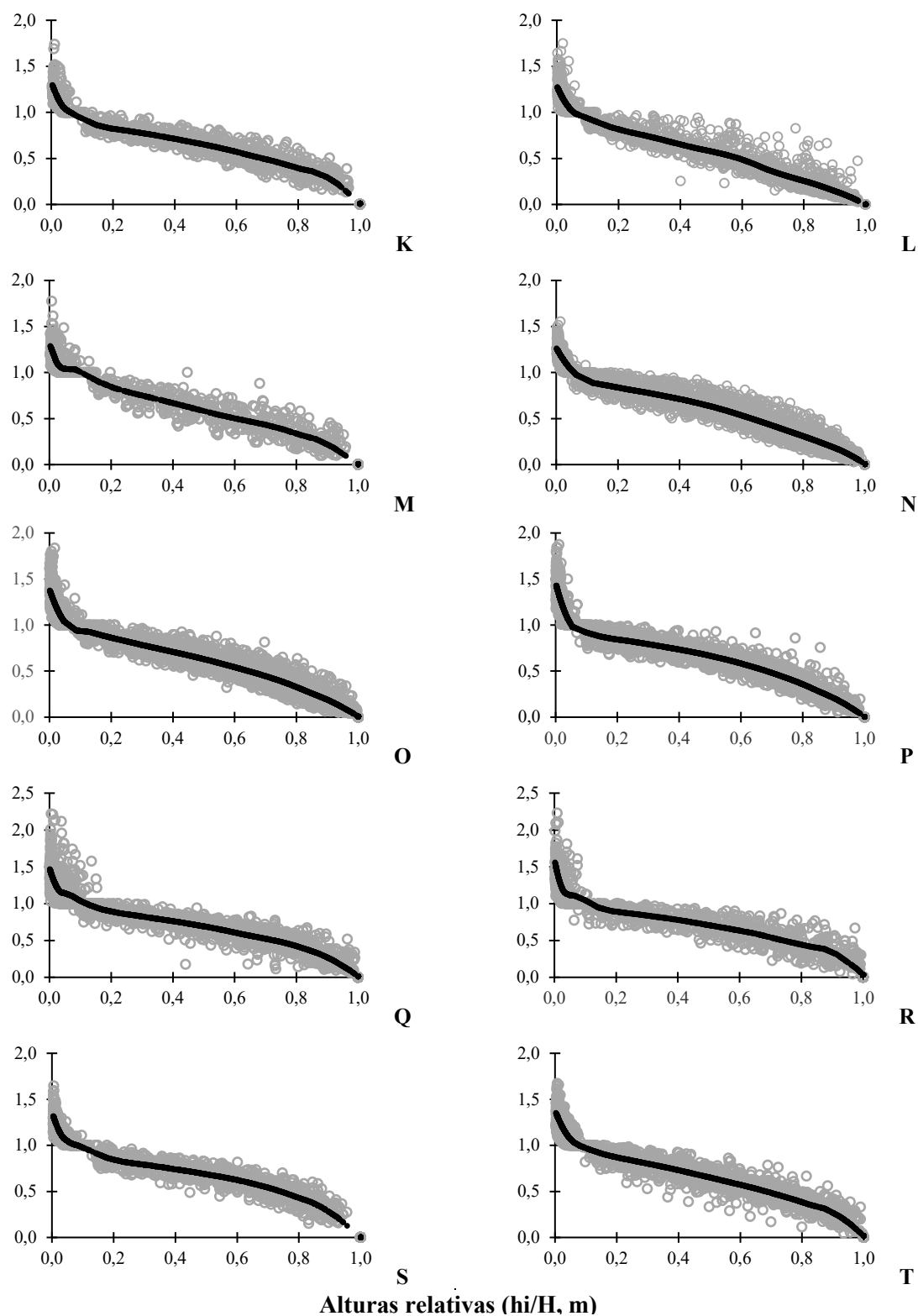


Figura 1. Alturas relativas contra diámetros relativos de las UMAFOR: A=1203; B=1303; C=1404; D=1406; E=1410; F=1503; G=1507; H=1508; I=1510; J=1604; K=1605; L=1607; M=1608; N=2101; O=2105; P=2108; Q=2901; R=2902; S=3004; T=3012.

Ajuste del sistema

El modelo ajustado fue el de [Fang et al. \(2000\)](#), para describir el perfil del árbol o ahusamiento (3), así como para estimar el volumen comercial (4) por UMAFOR. La función es de tipo polinomial segmentada, está integrada por ecuaciones injertadas y, además, cumple la condición de que $h=H$, cuando $d=0$, como se muestra a continuación:

$$d = C_1 \sqrt{H^{\frac{k-b_1}{b_1}} (1-q)^{\frac{k-b}{b}} \alpha_1^{|_1|+|_2|} \alpha_2^{|_2|}}$$

$$\text{donde } \begin{cases} |_1=1 & \text{si } p_1 \leq q \leq p_2; \text{ de lo contrario } 0 \\ |_2=2 & \text{si } p_2 \leq q \leq 1; \text{ de lo contrario } 0 \end{cases} \quad 3$$

$$b = b_1^{1-(|_1+|_2)} b_2^{|_1|} b_3^{|_2|} \quad \alpha_1 = (1-p_1)^{\frac{(b_2-b_1)k}{b_1 b_2}} \\ \alpha_1 = (1-p_2)^{\frac{(b_3-b_2)k}{b_2 b_3}}$$

$$r_0 = (1-h_b/H)^{\frac{k}{b_1}} \quad r_1 = (1-p_1)^{\frac{k}{b_1}} \quad r_2 = (1-p_2)^{\frac{k}{b_2}} \\ C_1 = \sqrt{\frac{\alpha_0 D^{\alpha_1} H^{\alpha_2} \frac{k}{b_1}}{b_1(r_0-r_1)+b_2(r_1-\alpha_1 r_2)+b_3 \alpha_1 r_2}} \quad 4$$

$$V_c = C_1^2 H^{\frac{k}{b_1}} \left[\frac{b_1 r_0 + (|_1+|_2) + (b_1-b_2) r_1 + |_2}{(b_3-b_2) \alpha_1 r_2 - b(1-q)^{\frac{k}{b}} \alpha_1^{|_1|+|_2|} + \alpha_1^{|_2|}} \right]$$

Donde: D = diámetro normal (cm); D = diámetro a la altura h (m) desde el nivel del tocón (cm); H = altura total del árbol (m); h_b = altura del tocón (m); V_c = volumen comercial variable (m^3); $k = \pi/40000$; $q = h_b/H$; α_i , b_i , p_i = parámetros a ser estimados.

Método y bondad de ajuste

Se utilizó el procedimiento MODEL de SAS ([SAS Institute Inc, 2008](#)) para la estimación de los parámetros. A través del método de regresión

aparentemente no relacionada (RAN) se realizó el ajuste en forma simultánea para minimizar errores de los parámetros.

La eficiencia del modelo para cada UMAFOR se midió mediante los siguientes criterios:

$$R_{adj}^2 = 1 - (1-R^2) \left[\frac{n-1}{n-p-1} \right] \quad 5$$

$$REMC = \sqrt{\frac{\sum_{i=n}^n (Y_i - \hat{Y}_i)^2}{n-p}} \quad 6$$

$$\bar{e} = \frac{\sum_{i=1}^n (Y_i - \hat{Y}_i)}{n} \quad 7$$

$$\bar{e} = \frac{\sum_{i=1}^n (Y_i - \hat{Y}_i)^2}{n} \quad 8$$

Donde: SCR = Suma de Cuadrado del Error; R^2 = coeficiente de determinación; p = número de parámetros a estimar; n = es el tamaño de muestra; \ln = logaritmo natural; Y_i = valores observados; \hat{Y}_i = valores predichos.

De manera adicional se realizó un análisis gráfico de los residuos frente a los valores predichos del volumen, ya que es una forma eficiente de evaluar la capacidad de ajuste de un modelo ([Guzmán-Santiago et al., 2019](#)).

Corrección de heterocedasticidad

La heterocedasticidad en las funciones volumétricas ocurre porque la varianza en el volumen del árbol crece con las variables explicativas, por lo que se realizó la corrección aplicando una ponderación con los mismos pesos a la inversa de la varianza de cada observación para garantizar las estimaciones de los parámetros. La varianza desconocida se estimó con la función potencial $\sigma_2^2 = Y * X^k$. Los valores de Y y del exponente k se optimizaron empleando los errores del modelo ajustado sin pesos como variable dependiente en el modelo potencial de varianza del error.

Finalmente, el peso considerado fue $\frac{1}{D^2} * H$ para la ecuación de volumen rollo total árbol.

Análisis de los cuerpos dendrómetricos

La flexibilidad del modelo permitió analizar los diferentes segmentos del fuste de los árboles utilizando el siguiente criterio, que consiste en partir de un cuerpo geométrico con una base circular, cuyo valor está dado por d_i en cm y la altura definida por h en m:

$$V = ff_i \frac{\pi}{40000} * d_i^2 * h \quad 9$$

Donde: ff define el tipo del cuerpo dendrómetrico, es decir, cuando $ff \sim 1$ es un cilindro; si $ff = 0.50$ se tiene un paraboloide; cuando $ff = 0.33$ es un cono; y si $ff = 0.25$ es un neiloide. En este sentido, el parámetro B_i del modelo calcula cada segmento y se obtiene de esta manera:

$$\beta_i = ff_i \frac{\pi}{40000} \quad 10$$

En consecuencia, se deriva la siguiente expresión para calcular los diferentes puntos del fuste:

$$ff_i = \beta_i \frac{40000}{\pi} \quad 11$$

Por último, la fórmula que se muestra a continuación permitió calcular el coeficiente de forma con base al promedio B_i aplicable para el modelo de volumen.

$$\bar{ff} = \beta_i \frac{40000}{\pi} \quad 12$$

RESULTADOS

Bondad de ajuste entre las UMAFOR

Como se vio en la Tabla 2, los estimadores de cada parámetro fueron reportados con sus respectivas

UMAFOR en la forma simultánea, así como la bondad de ajuste generada (ahusamiento, volumen de fuste, volumen comercial, volumen de ramas, volumen total) que resultó altamente significativa ($P < 0.0001$), lo cual mostró que las variables independientes explicaron más del 97 % del volumen comercial y del ahusamiento. En ambas variables se generaron valores convincentes para describir los conjuntos de datos, evidenciados en el resto de las bondades de ajuste (\bar{e} , REMC y CIA).

Factores de forma entre las UMAFOR

Se obtuvieron resultados con formas geométricas muy semejantes, donde la mayoría se aproximan del neiloide (tocón) al paraboloide (fuste central) y que ocurren a distintas secciones del fuste (Tabla 3). Por ejemplo, en la UMAFOR 2902 los árboles mostraron un factor de forma donde $ff_1 = 0.06 (b_1)$, que tiende al neiloide (arriba del primer punto de inflexión), seguida por la sección media con $ff_2 = 0.47 (b_2)$, muy próximo a ser un paraboloide, y la sección superior del fuste ($ff_3 = 0.64 (b_3)$) pasa por un paraboloide que tiende aproximarse a un cilindro.

Los casos con valores más bajos en los dos puntos de inflexión (p_1, p_2) se dieron para las UMAFOR 1508 (H) con valores de 3.5 % a 8.3 %, 2105 (O) con 1.7 % y 4.1 %, y 3004 (S), que mostró 2.7 % a 14 %, ocurriendo cerca de la base del árbol; excepto para el p_2 de la UMAFOR (S), al ser ligeramente superior por la unidad de manejo 1605 y 1510. Por el contrario, las zonas con valores más altos para el primer punto fueron las 2101, 1406 (5.8 %) y 1410 (6.9 %). Por otra parte, los primeros valores de p_1 (4.4 % y 4.8 %) fueron similares en las UMAFOR 1404 (C) y 1507 (G) que, sin embargo, arrojaron el segundo punto de inflexión más alto ($p_2 = 90$ %), describiendo así el cambio geométrico de un neiloide a un cilindro a pesar de que proceden de distintas entidades federativas.

Tabla 3. Estimadores de los parámetros y bondad de ajuste del modelo compatible

UMAFOR	Parámetro	Estimación de parámetros	Error estándar	Valor t	Aprox Pr> t	Factor de forma promedio	Vc (volumen comercial)			d (diámetro)			
							CIA	Sesgo (m³)	REMC (m)	R² adj	CIA	Sesgo (cm)	REMC (cm)
1203	a_0	0.00005400	0.000000192	28.31	<0.00001								
	a_1	1.68658000	0.01167550	144.45	<0.0001								
	a_2	1.20751600	0.01537038	78.56	<0.0001								
	b_1	0.00000400	0.00000009	45.87	<0.0001								
	b_2	0.000003600	0.00000038	95.97	<0.0001								
	b_3	0.000003200	0.00000067	48.73	<0.0001								
	p_1	0.04508000	0.00101022	44.62	<0.0001								
1303	p_2	0.65388700	0.04404292	14.85	<0.0001								
	a_0	0.00002000	0.000000107	19.00	<0.0001								
	a_1	1.60277600	0.00956422	167.58	<0.0001								
	a_2	1.57936800	0.01795778	87.95	<0.0001								
	b_1	0.00000400	0.00000007	57.83	<0.0001								
	b_2	0.00004000	0.00000023	174.03	<0.0001								
	b_3	0.00003200	0.00000049	66.01	<0.0001								
1404	p_1	0.04460000	0.00067803	65.78	<0.0001								
	p_2	0.74983300	0.01254858	59.75	<0.0001								
	a_0	0.00012300	0.00000900	13.68	<0.0001								
	a_1	1.85747900	0.02905067	63.94	<0.0001								
	a_2	0.80094600	0.03496563	22.91	<0.0001								
	b_1	0.00000500	0.00000021	25.89	<0.0001								
	b_2	0.00003700	0.00000040	92.25	<0.0001								
1406	b_3	0.00004200	0.00000459	9.05	<0.0001								
	p_1	0.04853800	0.00185216	26.21	<0.0001								
	p_2	0.90203300	0.036633402	24.62	<0.0001								
	a_0	0.00008600	0.00000825	10.44	<0.0001								
	a_1	1.84495000	0.01686188	109.42	<0.0001								
	a_2	0.91292000	0.02891174	31.58	<0.0001								
	b_1	0.00000700	0.00000029	22.29	<0.0001								
	b_2	0.00003800	0.00000106	35.94	<0.0001								
	b_3	0.00003600	0.00000066	55.04	<0.0001								
	p_1	0.05878800	0.00259814	22.63	<0.0001								
	p_2	0.48185800	0.14166453	3.40	0.0007								

UMAFOR	Parámetro	Estimación de parámetros	Error estándar	Valor t	Aprox Pr> t	Factor de forma promedio	Vc (volumen comercial)			d (diámetro)		
							CIA	Sesgo (m³)	REMC (m)	CIA	Sesgo (cm)	REMC (cm)
1410	a_0	0.00004100	0.00000368	11.18	<0.0001							
	a_1	1.70842500	0.01438439	118.77	<0.0001							
	a_2	1.26919100	0.03004534	42.24	<0.0001							
	b_1	0.00000700	0.00000028	67.10	<0.0001							
	b_2	0.00003800	0.00000057	24.83	<0.0001							
	b_3	0.00003100	0.00000069	44.51	<0.0001							
	p_1	0.06961900	0.00295815	23.53	<0.0001							
	p_2	0.66094700	0.02357689	28.03	<0.0001							
1503	a_0	0.00009300	0.00000401	23.30	<0.0001							
	a_1	1.73589800	0.01469059	118.16	<0.0001							
	a_2	1.01587900	0.01837714	55.28	<0.0001							
	b_1	0.00000600	0.00000016	35.08	<0.0001							
	b_2	0.00003700	0.00000043	86.53	<0.0001							
	b_3	0.00003900	0.00000039	100.29	<0.0001							
	p_1	0.04685500	0.00109790	42.68	<0.0001							
	p_2	0.52293800	0.06616724	7.90	<0.0001							
1507	a_0	0.00012200	0.00000810	15.09	<0.0001							
	a_1	1.78133200	0.01679609	106.06	<0.0001							
	a_2	0.88231700	0.02494533	35.37	<0.0001							
	b_1	0.00000500	0.00000014	33.71	<0.0001							
	b_2	0.00003400	0.00000025	136.48	<0.0001							
	b_3	0.00004700	0.00000277	16.99	<0.0001							
	p_1	0.04462600	0.00108422	41.16	<0.0001							
	p_2	0.90835900	0.00997065	91.10	<0.0001							
1508	a_0	0.00011300	0.00000522	21.55	<0.0001							
	a_1	1.74578000	0.01214935	143.69	<0.0001							
	a_2	0.95499800	0.01686748	56.62	<0.0001							
	b_1	0.00000500	0.00000016	32.35	<0.0001							
	b_2	0.00001400	0.00000083	16.59	<0.0001							
	b_3	0.00003900	0.00000020	192.96	<0.0001							
	p_1	0.03566300	0.00101950	34.98	<0.0001							
	p_2	0.08356800	0.00332998	25.10	<0.0001							

UMAFOR	Parámetro	Estimación de parámetros		Error estándar	Valor t	Aprox Pr> t	Factor de forma promedio	Vc (volumen comercial)		d (diámetro)	
		CIA	REM					Sesgo (m³)	REM	CIA	Sesgo (cm)
1510	a_0	0.00012900	0.00000490	26.23	<0.0001						
	a_1	1.96004800	0.01262129	155.30	<0.0001						
	a_2	0.62920100	0.01498672	41.98	<0.0001						
	b_1	0.000004400	0.00000013	30.59	<0.0001						
	b_2	0.000002000	0.00000099	19.69	<0.0001						
	b_3	0.000003400	0.00000026	130.54	<0.0001						
	p_1	0.03013600	0.00069690	43.24	<0.0001						
	p_2	0.13700600	0.00851002	16.10	<0.0001						
	a_0	0.00006900	0.00000291	23.64	<0.0001						
	a_1	1.61509100	0.01152570	140.13	<0.0001						
1604	a_2	1.24464000	0.01481613	84.01	<0.0001						
	b_1	0.00000500	0.00000011	50.36	<0.0001						
	b_2	0.00003900	0.00000039	98.83	<0.0001						
	b_3	0.00003400	0.00000044	76.74	<0.0001						
	p_1	0.05050500	0.00102015	49.51	<0.0001						
	p_2	0.59689400	0.02402229	24.85	<0.0001						
	a_0	0.00004700	0.00000314	14.97	<0.0001						
	a_1	1.90290500	0.02054328	92.63	<0.0001						
	a_2	1.02109000	0.02825924	36.13	<0.0001						
	b_1	0.00000600	0.00000023	25.77	<0.0001						
1605	b_2	0.00001700	0.00000144	11.49	<0.0001						
	b_3	0.00003900	0.00000032	123.06	<0.0001						
	p_1	0.03935700	0.00164531	23.92	<0.0001						
	p_2	0.12058000	0.01028651	11.72	<0.0001						
	a_0	0.00010200	0.00000520	19.53	<0.0001						
	a_1	2.03071300	0.00593717	34.03	<0.0001						
	a_2	0.61666000	0.01423654	43.32	<0.0001						
	b_1	0.00000600	0.00000018	33.23	<0.0001						
	b_2	0.00002800	0.00000043	64.40	<0.0001						
	b_3	0.00003300	0.00000045	74.07	<0.0001						
1607	p_1	0.04637500	0.00138493	33.49	<0.0001						
	p_2	0.45234100	0.02800635	16.15	<0.0001						

UMAFOR	Parámetro	Estimación de parámetros	Error estándar	Valor t	Aprox Pr> t	Factor de forma promedio	Vc (volumen comercial)		d (diámetro)	
							CIA	Sesgo (m³)	REMC (m)	R² adj
1608	a_0	0.00003400	0.00000258	13.23	<0.0001					
	a_1	1.80838800	0.02452088	73.35	<0.0001					
	a_2	1.19402000	0.03258579	36.64	<0.0001					
	b_1	0.00000500	0.00000019	28.63	<0.0001					
	b_2	0.00002900	0.00000041	70.31	<0.0001	0.3098	3089.93	-0.0011	0.40	0.96
	b_3	0.00003900	0.00000080	48.17	<0.0001					
	p_1	0.04074000	0.00122537	33.25	<0.0001					
	p_2	0.577724100	0.01721642	33.35	<0.0001					
	a_0	0.00007200	0.000000241	29.65	<0.0001					
	a_1	1.87013300	0.01149334	162.71	<0.0001					
2101	a_2	0.90991400	0.01455943	62.50	<0.0001					
	b_1	0.00000600	0.00000011	53.87	<0.0001					
	b_2	0.00003400	0.00000034	98.94	<0.0001	0.3013	5479.19	0.0007	0.34	0.98
	b_3	0.00003100	0.00000030	101.25	<0.0001					
	p_1	0.05809600	0.00101663	57.15	<0.0001					
	p_2	0.53368900	0.02501355	21.34	<0.0001					
	a_0	0.00003000	0.00000134	22.31	<0.0001					
	a_1	1.85548600	0.00883926	209.91	<0.0001					
	a_2	1.19034200	0.01709668	69.62	<0.0001					
	b_1	0.00000300	0.00000006	39.62	<0.0001	0.1697	17363.00	-0.0008	0.22	0.99
2105	b_2	0.00000600	0.00000029	20.04	<0.0001					
	b_3	0.000003100	0.00000014	219.39	<0.0001					
	p_1	0.01796000	0.00049859	36.02	<0.0001					
	p_2	0.04109200	0.00107773	38.13	<0.0001					
	a_0	0.00004400	0.00000225	19.43	<0.0001					
	a_1	1.47526300	0.01191746	123.79	<0.0001					
	a_2	1.53566900	0.01999331	76.81	<0.0001					
	b_1	0.00000300	0.00000006	61.79	<0.0001	0.2970	15044.40	0.00155	0.27	0.98
	b_2	0.000003700	0.00000026	138.91	<0.0001					
	b_3	0.000003000	0.00000060	50.29	<0.0001					
2108	p_1	0.04142100	0.00063699	65.03	<0.0001					
	p_2	0.73978400	0.01484714	49.83	<0.0001					

UMAFOR	Parámetro	Estimación de parámetros	Error estándar	Valor t	Aprox Pr> t	Factor de forma promedio	Vc (volumen comercial)			d (diámetro)		
							CIA	Sesgo (m³)	REMC (m)	R² adj	CIA	Sesgo (cm)
2901	a_0	0.00007700	0.00000293	26.44	<0.0001							
	a_1	1.81754300	0.01291949	140.68	<0.0001							
	a_2	0.99723000	0.01181764	84.38	<0.0001							
	b_1	0.00000500	0.00000014	31.96	<0.0001	0.2334	11700.5	-0.0020	0.12	0.99	51259.77	-0.1576
	b_2	0.00001100	0.00000091	12.06	<0.0001							
	b_3	0.00003900	0.00000024	163.12	<0.0001							
	p_1	0.03128400	0.00130522	23.97	<0.0001							
	p_2	0.07440800	0.00395228	18.83	<0.0001							
	a_0	0.000010300	0.000000831	12.42	<0.0001							
	a_1	1.76736600	0.01789997	98.74	<0.0001							
2902	a_2	0.96692200	0.02877671	33.60	<0.0001							
	b_1	0.00000500	0.00000019	26.84	<0.0001							
	b_2	0.00003700	0.00000048	76.72	<0.0001							
	b_3	0.00005100	0.00000175	29.08	<0.0001	0.3947	18850.1	-0.0031	0.21	0.97	45063.94	-0.272
	p_1	0.05168800	0.00176829	29.23	<0.0001							
	p_2	0.81093000	0.018655742	43.46	<0.0001							
	a_0	0.000007300	0.000000418	17.56	<0.0001							
	a_1	1.81715400	0.01418169	128.13	<0.0001							
	a_2	0.99282300	0.02257374	43.98	<0.0001							
	b_1	0.00000500	0.00000018	28.04	<0.0001	0.2631	-6861.30	-0.0003	0.06	0.98	31806.86	-0.1325
3004	b_2	0.000001800	0.00000101	17.79	<0.0001							
	b_3	0.00003900	0.00000029	133.49	<0.0001							
	p_1	0.02717200	0.00097607	27.84	<0.0001							
	p_2	0.14927800	0.00926216	16.12	<0.0001							
	a_0	0.000004600	0.000000184	25.17	<0.0001							
	a_1	1.97461100	0.01175288	168.01	<0.0001							
	a_2	0.94387000	0.02102148	44.90	<0.0001							
	b_1	0.00000700	0.00000019	36.13	<0.0001	0.3225	1775.40	0.00025	0.12	0.99	36563.60	0.066
	b_2	0.00003000	0.00000038	78.59	<0.0001							
	b_3	0.00003900	0.00000053	72.93	<0.0001							
3012	p_1	0.04946000	0.00130393	37.93	<0.0001							
	p_2	0.52357900	0.01678076	31.20	<0.0001							

DISCUSIÓN

Los resultados generados permiten modelar la relación ahusamiento-volumen de manera simultánea ([Guzmán-Santiago et al., 2020b](#)), lo cual minimiza las pérdidas económicas en la estimación de los datos ([Özçelik y Göçeri, 2015](#)). Por ello, la técnica RAN o SUR hace posible obtener estimadores más consistentes y, por ende, coeficientes superiores al 97 %, que son respaldados en otros estudios ([Vargas-Larreta et al., 2017](#)).

En cuanto a la información reportada por [Vargas-Larreta et al. \(2017\)](#) en la plataforma SiBiFor durante 2016, para *A. religiosa* se evidencian buenas estimaciones al tener coeficientes superiores al 96 % (R^2) y con una REMC menores a 2.72 cm. Sin embargo, con la calidad de depuración de los datos se logró mejorar los criterios de ajustes ya mencionados, así como de otros añadidos al sistema (CIA y \bar{e}) sobre existencias de volúmenes totales. Por otra parte, esta investigación se enriqueció al abordar los factores de forma respecto a las variables estimadas en cada uno de los sitios.

En consecuencia, los resultados muestran árboles con formas geométricas que van de un neiloide a un paraboloide con distintos puntos de inflexión, donde se observa que las podas en forma natural ocurren lentamente en los individuos. De ahí que una práctica de manejo bien desarrollada facilite el crecimiento de árboles con tallos rectos y de forma cilíndrica ([Quiñonez-Barraza et al., 2014](#)), lo que sería deseable. Aun así, cabe mencionar que la mayoría de los sitios todavía no cuentan con un programa de manejo forestal, o quizás este se encuentra en trámite.

A pesar de tratarse de una sola especie y una serie de factores, sobre todo ambientales, es importante calcular los puntos de inflexión de las distintas regiones dado que difieren entre sí ([Berhe y Arnoldsson, 2008](#)). Lo anterior fue propuesto por [López-Martínez et al. \(2020\)](#), quienes investigaron las 11 especies tropicales más importantes del Sureste de México y encontraron resultados similares al explicar más del 94 % sobre la variabilidad en ahusamiento y volumen comercial, así como la tasa de cambios a distintas

alturas con base en las procedencias; por ejemplo, de la especie *Dendropanax arboreus* (L.) Decne. et Planch. encontraron que en las cuatro regiones los primeros puntos de inflexión fueron 6.0 %, 5.7 %, 5.0 % y 7.1 %, mientras que los puntos posteriores indicaron 60 %, 56 %, 57 % y 70 %.

Un resultado parecido se puede observar en el trabajo de [Özçelik y Göçeri, \(2015\)](#) con *Eucalyptus grandis* Hill ex Maiden y *E. camaldulensis* Dehnh. en la región de Turquía, al explicar más del 97 % sobre la variable volumen, donde los puntos de inflexión ocurren en 3.6 % y 6.4 % de la altura del árbol, siendo similar a lo encontrado por [Sakici et al. \(2008\)](#) para *Abies* sp en la misma región. Así mismo, [Hernández-Pérez et al. \(2013\)](#) consiguieron ganancias significativas del 97.06 % y 98.09 % en *Pinus patula* Schiede ex Schltdl. et Cham., así como puntos de inflexión entre 1.34 % y 82.3 %, y que se asemejan a los resultados de [Uranga-Valencia et al. \(2015\)](#) en los valores de p_1 (1.36 %) y p_2 (96.52 %) en un bosque bajo manejo. Cabe resaltar que el primer punto de inflexión es casi imperceptible dado que se da prácticamente a nivel del tocón. Bajo este mismo enfoque también se aprecian las buenas estimaciones que obtuvieron [Martínez-Ángel et al. \(2019\)](#) para *Pinus chiapensis* (Martínez) Andresen.

Respecto a los resultados de *Pinus cooperi* Blanco en Durango, México, se presentan puntos de inflexión aproximado de 4.1 % y 4.6 % ([Corral-Rivas et al., 2017](#); [Quiñonez-Barraza et al., 2014](#)), que son semejantes para algunas UMAFOR de esta investigación. A su vez, [Fang et al. \(2000\)](#) reportaron el 54 % para *Pinus elliottii* Engelm. y 57 % en *P. taeda* L. en plantaciones de los Estados Unidos. Esta misma metodología ha dado buenas estimaciones en diámetros a distintas alturas de *Gmelina arborea* Roxb. en Colombia ([Niño-López et al., 2018](#)), *Eucalyptus tereticornis* Smith en Argentina ([Milena-López et al., 2015](#)) y *E. nitens* (Deane et Maiden) Maiden en la región de La Araucanía, Chile ([Rodríguez-Toro et al., 2016](#)).

Finalmente, a pesar de que no se percibió ninguna transgresión al supuesto de heterocedasticidad

en los datos, se realizó el análisis de corrección, aunque no se encontró mejora en las bondades de ajuste, lo cual se confirma con otros estudios al señalar que en ocasiones no se requiere hacer correcciones (colinealidad, heterocedasticidad y autocorrelación) de las variables ya mencionadas, pues se trata de un modelo segmentado y a veces se pierden ajustes (además de que en la práctica no aporta información de gran relevancia) (Ramírez-Martínez *et al.*, 2018). Es preciso indicar que la varianza no constante en las perturbaciones del modelo es consecuencia de las características biológicas presentes, por lo que no afecta en gran medida durante el ajuste (Prodan *et al.*, 1997).

CONCLUSIONES

Los resultados obtenidos para cada UMAFOR mostraron excelentes estimaciones al hacer uso del modelo segmentado con características biológicas, lo cual facilita la descripción del perfil fustal y del volumen comercial a diferentes alturas.

Con este modelo es posible generar un sistema de ecuación que clasifique los tipos de productos para su comercialización.

A través de esta técnica se puede observar la forma del fuste de la especie, así como los efectos que influyen sobre el ahusamiento, pues depende del manejo del rodal.

En la mayoría de los casos las formas geométricas que toman los árboles van de un neiloide a un paraboloide.

Por último, destacar que es el primer modelo con este tipo de estructura que se genera a nivel de las UMAFOR para las ocho entidades federativas, y que sin duda será de utilidad en los inventarios forestales.

AGRADECIMIENTOS

Los autores agradecen al Dr. Benedicto Vargas Larreta, investigador del Instituto Tecnológico de El Salto, Durango, México, por aportar la información

de campo para este trabajo. De igual manera, al Consejo Nacional de Ciencia y Tecnología (CONACYT) por su apoyo económico durante el periodo en que los autores fueron estudiantes, entre 2017 y 2020.

CONFLICTO DE INTERESES

Los autores declaran no tener conflicto de intereses.

CONTRIBUCIÓN POR AUTOR

J. C. G.S.: planeación, análisis de la información y redacción del texto; B. V.L.: proporción de los datos de campo y revisión de la información; O. A. A.C., M. G.C., H. M. D.S.P. y G. Q.B.: revisión del documento.

REFERENCIAS

- Azevêdo, T. K. B., Paes, J. B., Calegari, L. y Nascimento, J. W. B.** (2014). Relações entre volume e massa da madeira e casca de jurema-preta (*Mimosa tenuiflora*). *Revista Brasileira de Ciências Agrárias*, 9(1), 97-102.
<https://doi.org/10.5039/agraria.v9i1a3066>
- Berhe, L. y Arnoldsson, G.** (2008). Tree taper models for *Cupressus lusitanica* plantations in Ethiopia. *Southern Forests: a Journal of Forest Science*, 70(3), 193-203.
<https://doi.org/10.2989/SF.2008.70.3.2.663>
- Burkhart, H. y Tomé, H.** (2012). *Modeling forest trees and stands*. Springer.
<https://doi.org/10.1007/978-90-481-3170-9>
- Corral-Rivas, J. J., Vega-Nieva, D. J., Rodríguez-Soaileiro, R., López-Sánchez, C. A., Wehenkel, C., Vargas-Larreta, B., Álvarez-González, J. G. y Ruiz-González, A. D.** (2017). Compatible system for predicting total and merchantable stem volume over and under bark, branch volume and whole-tree volume of pine species. *Forests*, 8(11), 417.
<https://doi.org/10.3390/f8110417>

- Cruz-Cobos, F., Mendía-Santana, R., Jiménez-Flores, A. A., Nájera-Luna, J. A. y Cruz-García, F.** (2016). Ecuaciones de volumen para *Arbutus spp.* (madroño) en la región de Pueblo Nuevo, Durango. *Investigación y Ciencia*, 24(68), 41-47.
- Demaerschalk, J. P.** (1972). Converting volume equations to compatible taper equations. *Forest Science*, 18(3), 241-245.
<https://doi.org/10.1093/forestscience/18.3.241>
- Diéguez-Aranda, U., Castedo-Dorado, F., Barrio-Anta, M., Álvarez-González, J. G., Rojo-Alboreca, A. y Ruiz-González, A. D.** (2005). *Prácticas de Dasometría*. Mundi-Prensa.
<http://www.untumbes.edu.pe/vcs/biblioteca/document/variostibros/1480.%20Pr%C3%A1cticas%20de%20dasometr%C3%A9tica.pdf>
- Fang, Z., Borders, B. E. y Bailey, R. L.** (2000). Compatible volume-taper models for loblolly and slash pine based on a system with segmented-stem form factors. *Forest Science*, 46(1), 1-12.
- Guzmán-Santiago, J. C., Aguirre-Calderón, O. A., González-Tagle, M. A., Treviño-Garza, E. J., Jiménez-Pérez, J., Vargas-Larreta, B. y De los Santos-Posadas, H. M.** (2019). Relación altura-diámetro para *Abies religiosa* Kunth Schltdl. & Cham. en el centro y sur de México. *Revista Mexicana de Ciencias Forestales*, 10(52), 99-120.
<https://doi.org/10.29298/rmcf.v10i52.483>
- Guzmán-Santiago, J. C., Aguirre-Calderón, O. A. y Vargas-Larreta, B.** (2020a). Forest volume estimation techniques with special emphasis on the tropics. *Revista Chapingo Serie Ciencias Forestales y del Ambiente*, 26(2), 291-306.
<https://doi.org/10.5154/r.rchscfa.2019.07.061>
- Guzmán-Santiago, J. C., Aguirre-Calderón, O. A., Jiménez-Pérez, J. y Vargas Larreta, B.** (2020b). Estimación de volumen de *Abies religiosa* (Kunth) Schltdl. & Cham. en diferentes entidades federativas de México. *Colombia Forestal*, 23(2), 99-113.
<https://doi.org/10.14483/2256201X.15557>
- Hernández-Pérez, D., De los Santos-Posadas, H. M., Ángeles-Pérez, G., Valdez-Lazalde, J. R. y Volke-Haller, V. H.** (2013). Funciones de ahusamiento y volumen comercial para *Pinus patula* Schltdl. et Cham. en Zacualtipán, Hidalgo. *Revista mexicana de ciencias forestales*, 4(16), 34-45.
<https://doi.org/10.29298/rmcf.v4i16.439>
- INEGI. Instituto Nacional de Estadística y Geografía [México].** (2017). Conjunto de datos vectoriales de uso de suelo y vegetación. Escala 1:250 000. Serie VI. Capa Unión
<https://www.inegi.org.mx/app/biblioteca/ficha.html?upc=889463173359>
- Kozak, A.** (1988). A variable-exponent taper equation. *Canadian Journal of Forest Research*, 18(11), 1363-1368.
<https://doi.org/10.1139/x88-213>
- López-Martínez, J. O., Vargas-Larreta, B., Aguirre-Calderón, O. A., Aguirre-Calderón, C. G., Macario-Mendoza, P. A., Martínez-Salvador, M. y Álvarez-González, J. G.** (2020). Compatible taper-volume systems for major tropical species in Mexico. *Forestry: An International Journal of Forest Research*, 93(1), 56-74.
<https://doi.org/10.1093/forestry/cpz033>
- Martínez-Ángel, L., De los Santos-Posadas, H. M., Fierros-González, A. M., Cruz-Cobos, F. y Quiñonez-Barraza, G.** (2019). Funciones compatibles de ahusamiento y volumen en una plantación forestal comercial de *Pinus chiapensis* (Martínez) Andreassen en Tlatlauquitepec, Puebla. *Agrociencia*, 53(3), 381-401.
- Milena-López, A. M., Barrios, A. y Trincado, G.** (2015). Modelos de perfiles fustales con una estructura de error autorregresiva para plantaciones de *Eucalyptus tereticornis* en Colombia. *Madera y Bosques*, 21(2), 73-88.
<https://doi.org/10.211829/myb.2015.212446>
- Niño-López, G. S., Ramos-Molina, P. A., Barrios, A. y López-Aguirre, A. M.** (2018). Modelos compatibles de ahusamiento-volumen para árboles de *Gmelina arborea* Roxb. en el Alto Magdalena, Colombia. *Colombia Forestal*, 21(2), 174-187.
<https://doi.org/10.14483/2256201X.12249>
- Özçelik, R. y Göçeri, M. F.** (2015). Compatible merchantable stem volume and taper equations for

Eucalyptus sp. plantations in the Eastern Mediterranean Region of Turkey. *Turkish Journal of Agriculture and Forestry*, 39(6), 851-863.

<https://doi.org/10.3906/tar-1501-27>

Prodan, M., Peters, R., Cox, F. y Real, P. (1997). *Mensura Forestal* (Serie Investigación y Educación en Desarrollo Sostenible). Instituto Interamericano de Cooperación para la Agricultura (IICA).

<http://repiica.iica.int/docs/B4179e/B4179e.pdf>

Quiñonez-Barraza, G., De los Santos-Posadas, H. M., Álvarez-González, J. G. y Velázquez-Martínez, A. (2014). Compatible taper and merchantable volume system for major pine species in Durango, Mexico. *Agrociencia*, 48(5), 553-567.

Ramírez-Martínez, A., Santiago-García, W., Quiñonez-Barraza, G., Ruiz-Aquino, F. y Antúnez, P. (2018). Modelación del perfil fustal y volumen total para *Pinus ayacahuite* Ehren. *Madera y Bosques*, 24(2), 1-15.

<https://doi.org/10.21829/myb.2018.2421496>

Rodríguez-Toro, A., Rubilar-Pons, R., Muñoz-Sáez, F., Cártes-Rodríguez, E., Acuña-Carmona, E. y Cancino-Cancino, J. (2016). Modelo de ahusamiento para *Eucalyptus nitens*, en suelos de cenizas volcánicas de la región de La Araucanía (Chile). *Revista de la Facultad de Ciencias Agrarias UNCuyo*, 48(1), 101-114.

Sakici, O. E., Misir, N., Yavuz, H. y Misir, M. (2008). Stem taper functions for *Abies nordmanniana* subsp. *bornmulleriana* in Turkey. *Scandinavian Journal of Forest Research*, 23(6), 522-533.

<https://doi.org/10.1080/02827580802552453>

SAS Institute Inc. (2008). *Statistical Analysis System (SAS/STAT)* (Versión 9.2) [Software de computador]. SAS Institute Inc.

https://www.sas.com/en_us/software/stat.html

Schumacher, F. X. y Hall, F. S. (1933). Logarithmic expression of timber-tree volume. *Journal Agriculture Research*, 47(9), 719-734.

SEMARNAT. Secretaría de Medio Ambiente y Recursos Naturales [México]. (2016). Anuario estadístico de la producción forestal.

<https://www.gob.mx/cms/uploads/attachment/file/282951/2016.pdf>

Tamarit-Urías, J. C., De los Santos-Posadas, H. M., Alldrete, A., Valdez-Lazalde, J. R., Ramírez-Maldonado, H. y Guerra De la Cruz, V. (2014). Sistema de cubicación para árboles individuales de *Tectona grandis* L. f. mediante funciones compatibles de ahusamiento-volumen. *Revista mexicana de ciencias forestales*, 5(21), 58-74.

Uranga-Valencia, L. P., De los Santos-Posadas, H. M., Valdez-Lazalde, J. R., López-Upton, J. y Navarro-Garza, H. (2015). Volumen total y ahusamiento para *Pinus patula* Schiede ex Schltl. et Cham. en tres condiciones de bosque. *Agrociencia*, 49(7), 787-801.

Urbano, E., Machado, S. A., Figueiredo-Filho, A., Sanquetta, C. R. y Zea-Camaño, J. D. (2018). Modelación del volumen de rodal para especies secundarias en bosques nativos de *Mimosa scabrella* en la región metropolitana de Curitiba, Paraná, Brasil. *Bosque*, 39(2), 227-237.

<https://doi.org/10.4067/S0717-92002018000200227>

Valencia-Manzo, S., Trujillo-Gómez, S. A., Cornejo-Oviedo, E. H., Flores-López, C., Díaz-Balderas, J. A. y González-López, H. D. (2017). Ecuación de pressler para estimar volumen de fuste en árboles de *Pinus patula* Schl. et Cham. var. longipedunculata Look. *Forestal Veracruzana*, 19(1), 29-34.

Vargas-Larreta, B., Corral-Rivas, J. J., Aguirre-Calderón, O. A., López-Martínez, J. O., Santos-Posadas, H. M., Zamudio-Sánchez, F. J., Treviño-Garza, E. J., Martínez-Salvador, M. y Aguirre-Calderón, C. G. (2017). SiBiFor: Forest Biometric System for forest management in Mexico. *Revista Chapingo Serie Ciencias Forestales y del Ambiente*, 23(3), 437-455.

<https://doi.org/10.5154/r.rchscfa.2017.06.040>

